

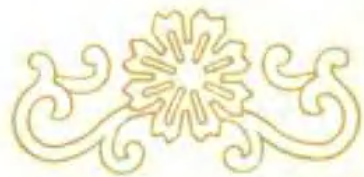
145638

87.1083  
RMT  
12

# 1963年鐵路科學技術大會文集

12

## 橋 梁



1963年鐵路科學技術論文報告會文集

第 12 輯

橋 梁

桥梁隧道专业會議学术委員会选編

人 民 鐵 道 出 版 社

1965年·北京

1963 年鐵路科學技術論文報告會文集

第 12 輯

## 橋 梁

橋梁隧道專業會議學術委員會選編

人民鐵道出版社出版、發行

(北京市霞公府甲 24 号)

北京市書刊出版業營業許可證出字第 010 号

人民鐵道出版社印刷廠印

書號 1978  
開本 787 × 1092  $\frac{1}{16}$  印張 15  $\frac{3}{2}$  插頁 3 字數 362 千

1965 年 3 月第 1 版

1965 年 3 月第 1 版第 1 次印刷

印數 0001—1,320 冊 定價 (科六) 2.10 元

# 目 录

在我国铁路桥梁设计中采用极限状态法计算的若干问题	1
关于我国铁路桥梁竖向活载的几点意见	17
国产 16 锰低合金钢焊接梁疲劳试验研究	26
低炭钢焊接桥的耐疲劳强度问题	38
国产 16 锰钢的焊接性能	54
钢梁伸臂安装时风荷载所产生的振动的理论探讨	66
装配式预应力混凝土系杆拱桥在公路及铁路上的应用和试验研究	88
预应力钢筋混凝土联合系桥桥面系与主承结构共同工作的研究	113
拼装式预应力钢筋混凝土系杆拱桥几个设计问题的探讨	129
柱比法设计系拱与系拱的刚度比	144
矩阵法解超静定结构	165
弗列西奈系统后张法 31.7m 预应力钢筋混凝土梁张拉钢丝束时摩擦力损失的试验 （试验结果及其分析）	177
小跨度钢筋混凝土桥梁动载影响的试验研究	194
混凝土及岩石材料试件形状和尺寸对强度指标的影响	208
新疆地区铁路混凝土工程裂缝和剥落问题的探讨	231

# 在我国铁路桥梁设计中采用极限状态法计算的若干问题\*

唐山铁道学院 张万久、车惠民、谢幼藩

铁路专业设计院 郭可懿

第三设计院 陈鼎

## 内 容 提 要

本文对极限状态法进行了评述，应用这个计算法做了一些钢桥、钢筋混凝土桥和桥梁墩台的试验性设计，并与按容许应力法的计算结果相比较；对一些计算系数进行了初步探讨，最后就桥梁计算的发展方向以及我国应有的相应措施提出建议。

本文之目的在于研究在我国铁路桥梁设计中采用极限状态法计算所存在的问题，并提出解决途径。

## 一、桥梁按极限状态法计算的主要内容

1956年苏联公布了按极限状态法计算铁路桥梁的暂行规范(TUПМ—56)\*\*，与1947年的规范(TUПМ—47)同时并用，以便积累经验，加以修正。1958年又公布了按这种计算法设计的公路和城市桥梁规程。并准备于1961年提出各种桥涵的统一设计规程\*\*\*。

“苏联规范”规定桥涵的承荷结构和地基要按极限状态法计算。

“苏联规范”指出所谓极限状态就是在外力作用下结构和地基不再能满足使用要求时的状态。极限状态反映结构物在不利条件下的实际工作情况。

按极限状态法计算之意图在于保证结构物在使用中不致发生极限状态，从而使行车安全畅通，并满足结构物承荷外力作用时的其他要求。

“苏联规范”还规定桥涵要按以下三种极限状态进行计算：

1) 按第一种极限状态计算，保证结构物不致因丧失强度(或发生大量塑性变形)，耐劳性和稳定性而致使用中断；

2) 按第二种极限状态计算，保证结构物不致因发生过度的整体变形(弹性的或残留的)或振动而致正常使用发生困难；

\* 本文是集体协作的成果：铁路专业设计院、北京铁道学院、唐山铁道学院和同济大学提供了钢桥和钢筋混凝土桥的试验性设计资料；第三设计院、同济大学和大桥工程局提供了桥梁墩台的试验性设计资料；铁道科学研究院、唐山铁道学院、中国科学院土木建筑研究所和公路科学研究院提供了荷载、钢筋和混凝土的计算系数资料。

本文曾在《中国土木工程学会1962年年会论文选集》(内部资料)发表过。

\*\* 参阅参考文献[1]，以下简称“苏联规范”。

\*\*\* 参阅参考文献[2]。已于1962年公布该规程(OH 200—62)。

3) 按第三种极限状态計算，保証結構物不致因发生过度的局部变形（损伤）而致正常使用发生困难。

按第一种极限状态的强度計算是对于一切桥涵都需要的。計算时采用下列系数：超載系数  $n$  (或  $n_0$ )，匀质系数  $k$ ，工作条件系数  $m$ ，荷载增长系数  $n_2^*$  和冲击系数  $1+\mu$ 。

耐劳性計算只对鋼和鋼筋混凝土结构进行，不用超載系数。

进行位置稳定（抵抗倾复及滑动）計算时，不用冲击系数。

按第二种极限状态的計算包括一切桥涵的竖向挠度，鋼結構的水平向自振周期，墩台的沉陷和移动量。

按第三种极限状态的計算为对鋼筋混凝土结构进行受拉区的裂縫計算。

按第二及第三种极限状态計算时，只考虑荷载增长系数  $n_2$ 。对于现用结构物則由限制其变形計算值不超过相应的容許值来保証其不发生此种极限状态。

结构計算是按材料在弹性阶段工作来进行的，由此确定荷载作用下所生的內力（力矩，軸向力和剪力）。按第一种极限状态計算时所采用的一般公式如下：

$$\text{强度計算: } \frac{nN_p + n_0n_2(1+\mu)N_k}{m_2F} \leq m_1kR^H,$$

$$\text{形状穩定計算: } \frac{nN_p + n_0n_2(1+\mu)N_k}{\phi F} \leq m_1kR^H,$$

$$\text{耐劳性計算: } \frac{N_p + n_2(1+\mu)N_k}{\gamma F} \leq m_1kR^H,$$

式中  $N_p$ ——恒載所生的內力；

$N_k$ ——活載所生的內力；

$n$ ,  $n_0$  和  $n_2$ ——超載系数和荷載增长系数，其中  $n$  可大于 1 或小于 1,  $n_0$  和  $n_2$  大于 1；

$1+\mu$ ——冲击系数；

$F$ ——截面几何性质（面积，截面模量等）；

$k$ ——材料匀质系数；

$R^H$ ——材料标准强度；

$m_1$ ——照顾实际结构較之設計者的偏差之工作条件系数，其值小于 1；

$m_2$ ——照顾計算的偏差之工作条件系数，其值可小于 1, 大于 1, 或等于 1；

$\phi$ ——計算形状稳定的折減系数；

$\gamma$ ——計算耐劳性的折減系数。

关于桥梁按极限状态法計算的詳細內容和解釋，已见諸有关文献[1][2][3]。

## 二、极限状态法与容許应力法的比較

按容許应力法計算桥梁是我们所习用的。这个方法的主要步驟是：

1) 根据試驗确定材料的标准强度，并凭設計經驗确定安全系数，以此系数除材料标准强度，即得容許应力；

2) 根据調查研究，确定各种荷載的数值。对列車荷載并考慮其在桥梁使用期間的增长数值；

3) 用已知荷載加載，按彈性理論通过结构分析来确定危险截面所受的力；

\* 在 CH 200—62 中，已不用这一系数，而直接提高股軸活載等级。

4) 按材料在弹性阶段工作来计算应力和变形，并与它们的容许数值比较，不许超过。

采用容许应力法也并不完全排斥在计算中考虑材料的塑性，例如，计算钢筋混凝土的受压杆件时，就考虑了混凝土和钢筋的塑性，只不过计算公式仍然用容许应力的形式来表示罢了。

然而，与极限状态法相较，容许应力法却有如下缺点：

1) 用容许应力来检查和表达结构物之是否能满足使用要求，不如极限状态法把使用要求直接提出，目的明确，利于促进结构计算的发展。

2) 在容许应力法中，所用的安全系数是单一的，其公式为：

$$S = \frac{R^a}{[\sigma]},$$

式中  $R^a$ ——材料的标准强度；

$[\sigma]$ ——容许应力。

当然，容许应力可以就不同的荷载组合（例如：主力、主力与附加力、施工应力、施工应力加风力等）来被分别规定，然而，安全系数仍然只能凭设计经验被分别规定为相应的单一系数，而且对于钢筋混凝土构件来说，钢筋或者混凝土的安全系数并不能反映构件本身的安全系数（截面破坏时的内力与容许内力之比）。按容许应力法计算的强度安全系数如表1。

表 1

#### 按容许应力法计算的强度安全系数

受力情况	桥跨类型 钢材标号	钢 筋 混 凝 土 桥					
		G3 光面钢筋			G5 螺纹钢筋		
		S 混疑土	S 钢 筋	破坏时内力 容许内力	S 混疑土	S 钢 筋	破坏时内力 容许内力
轴向受力	1.71	2.50~2.60	2	2.50~2.60	2.50~2.60	1.93	2.50~2.60
受弯	1.60	2.48~2.60	2	2.12~2.22	2.48~2.60	1.93	1.97~2.07

注：受弯破坏时内力与容许内力之比，是按单筋矩形截面低筋梁计算的结果，其值与配筋率及混凝土标号有关。

在极限状态法中，采用了荷载系数，匀质系数和工作条件系数，安全系数为：

$$S = \frac{\bar{n}\alpha}{k m_1},$$

式中  $\bar{n}$ ——荷载系数， $\bar{n} = \frac{n N_p + n_0 n_2 (1 + \mu) N_t}{N_p + (1 + \mu) N_t}$ ；

$k$ ——匀质系数；

$m_1$ ——照顾实际结构较之设计者的偏差之工作条件系数；

$\alpha$ ——考虑钢筋混凝土构件配筋率  $\mu$  影响的系数：

$$\text{轴向受压时, } \alpha = \frac{1 + \mu \frac{R_a^a}{R_{np}^a}}{1 + \mu \frac{R_a}{R_{np}}},$$

$$\text{受弯时, } \alpha = \frac{1 - 0.5\mu \frac{R_a^a}{R_n^a}}{1 - 0.5\mu \frac{R_a}{R_n}},$$

- $R_a^H, R_a$ ——鋼筋的标准强度与計算强度;  
 $R_{np}^H, R_{np}$ ——混凝土轴向受压的标准强度与計算强度;  
 $R_u^H, R_u$ ——混凝土弯曲受压的标准强度与計算强度。

这就可以更加密切結合荷載情况，材料性质和結構物的工作条件来分別确定安全系数的数值，如表 2，使結構物的各部分在滿足使用要求的程度上更加一致，从而收到經濟效果。

3) 在容許应力法中所用的单一安全系数只能凭經驗加以确定，虽然随着結構計算的日益精确和对材料性质认识的日益深入，可以逐步提高容許应力和减小安全系数，但是，直接的理論根据是不足的。

表 2  
按极限状态法計算的强度安全系数

受力情况 计算系数	桥跨类型 材料标号	钢 筋 混 凝 土 桥			
		钢 桥		G3 光面钢 筋	G5 螺纹钢 筋
		甲3 桥 号	炭 钢	$R \leq 200$	$R > 300$
轴向受力	$n$	1.37①		1.3②	1.3③
	$km_1$	$\frac{R_u}{R^H} = \frac{1}{1.2}$	$\frac{R_{np}}{R_{np}^H} = 0.54$	0.585	0.54
	$\alpha$	1	0.86~0.97	0.94~1.0	0.95~0.99
	$S$	1.64	2.07~2.33	2.09~2.22	2.28~2.38
受弯	$n$	1.4②		1.4④	1.4⑤
	$km_1$	$\frac{R_u}{R^H} = \frac{1}{1.2}$	$\frac{R_u}{R_u^H} = 0.792$	$\frac{R_u}{R_u^H} = 0.75$	$km_1 m_2 = 0.575$
	$\alpha$	1	1~1.03③	1~1.03③	~1
	$S$	1.68	1.77~1.83	1.87~1.93	~2.44

- 注：① 根据  $l_p=64m$  及  $80m$  钢桁架桥标准设计的中间上弦杆内力算得；  
 ② 根据  $l_p=20\sim40m$  钢梁桥标准设计的跨中弯矩算得；  
 ③  $\bar{n}=1.3$  为近似假定值，若  $\bar{n}=1.4$ ，则其安全系数将接近按容许应力法计算的安全系数；  
 ④ 根据  $l_p \leq 23.8m$  钢筋混凝土梁桥资料，近似采用  $\bar{n}=1.4$ ；  
 ⑤ 没有包括耐劳条件控制设计的情况。

在极限状态法中，把超载系数、匀质系数和工作条件系数  $m_1$  作为安全储备，并且通过統計方法把这些系数确定下来。那么，随着荷載情况、材料性质和結構尺寸的精确性等日益明确，安全系数就可随之减小。而且，由于对这些系数的深入研究，还有可能对材料和結構制造的工艺提出改进的具体意见，从而改善这些系数的数值。

4) 在容許应力法中，計算鋼橋时规定采用活載发展均衡系数来調整各杆件在列車荷載增加后的承载能力。极限状态法則为各种桥涵、墩台和地基都规定了荷載增长系数，更利于掌握列車荷載增长对計算发生的影响。

### 三、极限状态法所存在的問題

极限状态法消除了容許应力法的若干缺点，已如前节所述。然而，有若干缺点則仍然保留下來，还有一些缺点則为一种新方法未完善以前所不可避免。

首先，在极限状态法中，結構分析仍是按弹性工作阶段来进行的，对靜不定結構物由于应力重分布而可能增大的承荷能力沒有計及。

在鋼橋的构件計算中，对鋼的塑性沒有很好地考慮，因而在“苏联规范”中所用的計算公式，基本上与容許应力法相同，对鋼材在彈——塑性阶段所增大的承荷能力，未充分加以利用。

在鋼筋混凝土桥的构件計算中，材料的塑性已考慮到了，然而，限于鋼筋混凝土和預应力鋼筋混凝土学科的发展水平，构件受剪、受扭、偏心受压、偏心受拉等的强度計算，是不够完善的，混凝土的耐劳性和其他机械——物理性能是不够清楚的。

其次，极限状态法所用的一些系数，如列車荷載增长系数、超載系数、材料均质系数和工作条件系数等，都有更加深入研究之必要。“苏联规范”所用的列車荷載增长系数不能很好地反映现代机車和车辆荷載\*。荷載和材料强度的概率分布曲綫究以何种类型为宜，仍然值得爭論。所用的工作条件系数并末經過統計分析，它們的数值是被定得較为主观的。

此外，各种荷載組合的概率分布問題在“苏联规范”中并未提出，最大的超載和最小的材料强度同时出現的概率問題，也未得到适当的反映。按“苏联规范”計算所得的結構物，其安全度是未知的，更不用說象桥梁这样重要的結構物，应有多大的安全度了。

最后，还須指出，按第二和第三种极限状态計算时所取的豎直挠度、水平自振周期、墩台沉陷量和混凝土裂縫大小等的容許數值，还值得繼續研究。

### 四、按极限状态法进行試探性設計的結果

为便于对采用极限状态法計算的“苏联规范”进行总的检查起见，我們曾用这个规范进行了鋼橋、鋼筋混凝土橋、預应力鋼筋混凝土橋和墩台地基的試探性設計，并把这些設計結果与按我国 1959 年开始使用的鐵路桥涵設計规范\*\*进行設計（容許应力法）所得的結果加以比較，借以吸取經驗，并发现其所存在的問題。

#### 1. 鋼梁的試探性設計結果

試探性設計的范围包括中—22 級 32 米上承鋼钣梁，48、64、80、96 米单綫鉤接下承桁架及 64 米双綫鉤接下承桁架。将其結果分别与我国按容許应力法計算的标准設計（图号大—058、专桥 0101、专桥 0201 及大—054 中的 96 米修正米字形下承桁架初步設計）相比較，32 米鋼钣梁鋼材用量增加約 1.5 吨，約合原設計重量的 2.8%；各种桁架的鋼材用量則有不大的节省，其数值如表 3。

应当指出，所作桁架的試探性設計中，大部分杆件的截面不是由应力控制而是由构造、制造以及长細比等方面的要求决定的，在按容許应力法計算的标准設計中也是如此，所以选

\* 參閱第二頁脚注。

\*\* 以下简称“59 桥規”。

表 3

## 按极限状态计算钢桁架钢材用量节省统计表

(以 kg 計)

跨 度	部 件	桥 面 系	主 桁	上平纵联		横 联	总 计	% (占原设计)
				下	用原截面			
48m		687	用原截面	用原截面	用原截面		687	0.57
64m		891	1540	216*	"		2647	1.45
80m		1102	4322	3471*	"		8895	3.27
96m		1319	8666	525	"		10510	2.72
64m (双线)		1160	10800	—	"		11960	3.4

注: \* 64m 及 80m 单线桁架之上下平纵联系按风力  $100\text{kg}/\text{m}^2$  (有车) 及  $200\text{kg}/\text{m}^2$  (无车) 计算, 若按“59 桥规”用  $125$  及  $225\text{kg}/\text{m}^2$ , 则节省将更多。

用了相同的截面。对于这些杆件, 不能从钢材用量上看出两种方法计算结果的差别, 而应以截面应力余裕值对容许应力或计算强度的比值(即安全储备)来作比较。另外, 在标准设计中还有一些杆件的截面虽然是由应力决定, 但选用得比较富裕, 这样的杆件, 在按极限状态设计时, 截面可稍为减小一些, 将减小了的截面按容许应力方法检算时也能通过。48~80 米桁架主桁各杆件余裕应力比值  $C_{容}$  及  $C_{极}$  如表 4。

表 4

跨度 48~80m 桁架主桁杆件的余裕应力比值  $C_{容}$  及  $C_{极}$ 

跨 度	48m		64m		80m		64m (双线)	
	$C_{容}$	$C_{极}$	$C_{容}$	$C_{极}$	$C_{容}$	$C_{极}$	$C_{容}$	$C_{极}$
$H_0-H_2$	+34.5	+35.0	+34.2	+34.7	+18.9	+18.5	+19.3	+22.9
$H_2-H_4$ 或 $H_2-H'_4$	+14.7	+14.0	+2.86	+5.5	+3.57	+7.0	0	+7.6
$H_4-H'_4$					+2.5	+5.0		
$B_1-B_3$	+7.15	+13.0	+6.4	+5.0	+1.79	-0.75*	+0.71	+7.9*
$B_3-B_5$ 或 $B_3-B'_5$			+2.57	-1.0*	-1.43	+0.5*	-0.015	+8.4*
$H_0-B_1$	-1.79	+0.2	+3.36	-3.75*	+1.43	-2.5*	+3.15	+10.5
$B_1-H_2$	+1.6	+18.7	+4.4	+8.5	-0.93	+0.25*	+1.36	+8.7*
$H_2-B_3$	+51.6	+53.0	+6.8	+8.5	-0.35	+2.5*	+0.36	+5.8*
$B_3-B_4$			+42.3	+49.5	+7.15	+14	+0.72	+2.3
$B_4-B_5$					+23	+35		
挂杆	+41	+41	+39.4	+38	+37.3	+37	+15.4	+17.9

注: ①  $C_{容} = \frac{\text{容许应力} - \text{计算所得应力}}{\text{容许应力}} \times 100\%$ ;

② 表中带符号\*的数据为截面已经修改者。

从上表可以看出：大部分截面未变动的杆件，如按极限状态法計算，其强度余裕值均比按容許应力法計算者为高或与其接近。只有少数杆件强度余裕值較低。

按两种方法計算的結果，其截面发生差异的原因，可由下面的关系式看出。

### 1) 对于受弯构件

按极限状态法計算：

$$M = \Sigma \Omega [n \cdot g + n_1 K(1 + \mu)] \text{ 及 } W = \frac{M}{\sigma_u};$$

按容許应力方法計算：

$$M' = \Sigma \Omega [g + K(1 + \mu)] \text{ 及 } W' = \frac{M'}{\sigma'_u};$$

式中  $n$  ——恒載超載系数；  $n_1$  ——活載超載系数；  $K$  ——換算均布活載。假定在两种計算方法中，材料均能發揮其最大强度，则有： $\sigma_u = R_u$ ，  $\sigma'_u = [\sigma_u]$ 。故按两种方法所得截面模量之比为：

$$\beta = \frac{W}{W'} = 1 + \left[ \frac{\left[ \frac{[\sigma_u]n}{R_u} - 1 \right]g + \left[ \frac{[\sigma_u]n_1}{R_u} - 1 \right]K(1 + \mu)}{g + K(1 + \mu)} \right]$$

設

$$A = \frac{K(1 + \mu)}{g} + \frac{\frac{[\sigma_u]n}{R_u} - 1}{\frac{[\sigma_u]n_1}{R_u} - 1}$$

則

$$\beta = 1 + \frac{g \left[ \frac{[\sigma_u]n_1}{R_u} - 1 \right] \cdot A}{g + K(1 + \mu)}$$

按“苏联规范”及“59 桥規”： $R_u = 2000 \text{ kg/cm}^2$ ；  $n = 1.1$ ；  $n_1 = 1.45$ ；  $[\sigma_u] = 1500 \text{ kg/cm}^2$ 。故

$$\frac{[\sigma_u]n_1}{R_u} - 1 = 0.0875, \frac{[\sigma_u]n}{R_u} - 1 = -0.175;$$

$$\therefore A = \frac{K(1 + \mu)}{g} - 2,$$

当  $A > 0$  时，  $\beta > 1$ ；  $A < 0$  时，  $\beta < 1$ ，即当  $\frac{K(1 + \mu)}{g} < 2$  时，梁的截面按极限状态法計算时，

可以节省。对于 32 米鋼鈑梁  $\frac{K(1 + \mu)}{g} = 6.37 > 2$ 。故按极限状态法計算截面反而要增大。

对于桁架主桁弦杆，按同理可推得类似的关系式：

$$\beta = \frac{F}{F'} = 1 + \frac{g \left[ \frac{[\sigma_0]n_1}{R_0} - 1 \right] \cdot A}{g + K(1 + \mu)},$$

式中

$$A = \frac{K(1 + \mu)}{g} + \frac{\frac{[\sigma_0]n}{R_0} - 1}{\frac{[\sigma_0]n_1}{R_0} - 1}$$

当  $R_0 = 1900 \text{ kg/cm}^2$ ，  $[\sigma_0] = 1400 \text{ kg/cm}^2$ ，  $n = 1.1$  及  $n_1 = 1.45$  时

$$\beta = 1 + \frac{\left[ \frac{K(1 + \mu)}{g} - 2.78 \right] \times 0.068g}{g + K(1 + \mu)}.$$

故当  $\frac{K(1 + \mu)}{g} < 2.78$  时，  $\beta < 1$ ；按极限状态法計算才可获得节省。

由上面的关系式可以看出，当桥梁的活载对恒载的比值愈小（例如公路桥或较大跨度的铁路桥），按极限状态法计算所获得的钢材的节省愈益显著。

桁架桥桥面系的节省是由于标准设计中截面选择得较为富裕，而在按极限状态法计算时将截面改小了一些。

### 2. 普通钢筋混凝土梁的试探性设计结果

试探性设计是对道碴桥面钢筋混凝土梁标准设计图纸（专桥 1000 及 1001），按“苏联规范”进行验算。并在不改变原设计截面尺寸与充分发挥材料潜力的条件下，抽出部分梁内主筋，计算出按极限状态法设计较之按容许应力法设计可能节省的钢筋数量。计算结果如表 5 所示，表中节省的钢筋重量仅为主筋部分，至于腹部钢筋与版内钢筋则未进行详细的比较。

表 5  
按极限状态法计算主筋用量节省表

梁的计算跨度(m)	8	10	12	16	20
节省的主筋重量占原设计主筋重量的百分数	17.1	18.4	12.4	18.6	16.2
节省的主筋重量占原设计钢筋总重量的百分数	9.1	10.9	7.6	12.1	10.1

在上面验算的各种跨度梁中荷载循环幅度  $\rho=0.27\sim0.38$ ，按“苏联规范”当  $\rho>0.1$  时钢筋的耐劳强度将随之增大，因而即使计入最低的焊结合折减系数  $\gamma=0.75$ ，亦仅  $l_p=10$  米与 20 米梁按耐劳条件要求钢筋用量略微高于（不到 1%）按强度条件要求者。所以上面验算的各种跨度梁的主筋用量基本是强度条件控制设计。当截面的配筋率不超过其最大限值时，截面的计算强度是决定于钢筋的计算强度。由此可知，按极限状态法设计较之按容许应力法设计可以节省钢筋用量的主要原因是其钢筋的计算强度除以荷载系数  $n$  之商大于按容许应力法设计中钢筋的容许应力。其次是在极限状态法设计中考虑了混凝土的塑性，又使其截面内力偶臂大于按容许应力法设计的截面内力偶臂。为避免按容许应力法计算用钢量过多，目前可以考虑适当地提高钢筋的容许应力，因为裂缝开展宽度的问题可以用配筋半径来限制。

### 3. 预应力钢筋混凝土梁试探性设计结果

试探性设计是对道碴桥面预应力钢筋混凝土梁标准设计图纸（大 138），按“苏联预应力铁路桥梁设计规程（1959 草案）”进行验算。并在不改变原设计截面尺寸与满足“苏联规程（草案）”要求的条件下，将每个钢丝束中的钢丝数目给予变动，算出按极限状态法设计需要增加的钢丝用量，其结果如表 6 所示。

表 6  
按极限状态法计算钢丝用量增加表

梁的计算跨度(m)	19.8	23.8
预应力钢丝用量增加的百分数	7.4	12.7

原设计（大 138）的钢丝用量不论在运营荷载下的强度方面或者在耐劳性与抗裂性方面均不能满足“苏联规程（草案）”的要求。强度方面不能满足要求的主要原因是：高强度钢丝

的匀质系数較低，并且考虑了鋼絲的工作条件系数。耐劳性与抗裂性計算不能滿足要求的原因主要是由于“苏联规程（草案）”計算的总的預应力損失值較之原設計（大138）資料所用者为大。“苏联规程（草案）”对預应力損失值計算的规定比之原設計是較为合理的，这点在我国1961年公布試行的“預应力鋼筋混凝土铁路桥梁結構設計暫行规范”中已有反映。

#### 4. 墩台的試探性設計結果

試探性設計的范围包括鋼梁和鋼筋混凝土梁的墩台。荷載为中-22級。計算跨度为3.4~64.0米。墩身形式包括圆形和圓端形两种，墩身高度为2~29米。台身形式为重型、T形和十字形三种，填土高为2~24米。詳情列于表7。

表 7  
按极限状态法进行試探性設計的墩台統計表

梁部结构 类型	計算跨度 (m)	桥 墩 部 分		桥 台 部 分	
		墩 身 形 式	墩 身 高 度 $h$ (m)	台 身 形 式	填 土 高 度 $H$ (m)
鋼 筋 混 凝 土 梁	3.4	—	—	重 型	2, 3, 4
	4.5	圓 端 形	2, 4, 6	—	—
	8.0	”	4, 8, 12	—	—
		圓 形	—	T 形	4, 8, 12
	16.0	圓 端 形	4, 8, 12, 16	—	—
		圓 形	—	—	—
		圓 端 形	7, 14, 21, 28	十 字 形	12, 18, 24
	23.8	”	—	—	—
		圓 形	8, 15, 22, 29	—	—
		圓 端 形	—	—	—
上 承 式 鋼 簾 梁	31.7	圓 端 形	7, 14, 21, 28	十 字 形	12, 18, 24
	32.0	圓 形	—	—	—
		圓 端 形	7, 14, 21, 28	十 字 形	12, 18, 24
下 承 穿 式 鋼 簾 梁	40.0	圓 端 形	—	十 字 形	—
	48.0	圓 端 形	7, 14, 21, 28	—	自頂帽底面至基礎頂面 4, 12, 24
	64.0	—	—	—	—

在試探性設計中，分別按极限状态法及容許应力法对墩台进行检算。若以二者計算結果的安全儲备来看，则在墩身截面及岩石地基的强度方面，按极限状态法計算的安全儲备均大于按容許应力法計算的結果，亦即前者的要求比之后者为小；在非岩石地基的强度以及墩身的位置稳定性（岩石的及非岩石的地基）方面，则按极限状态法計算的安全儲备均小于按容許应力法計算的結果，亦即前者的要求比之后者为大，其比較列于表8。

关于桥台計算的結果表明两种計算方法之要求大小互有出入，其比較列于表9。

墩台按极限状态法和容許应力法計算結果大小互有出入的原因，大致可分为：(1) 按极限状态法計算时考虑了圬工的塑性，而在容許应力法計算中则只假定圬工为弹性材料。因此，在强度計算中，应用极限状态法更为合理，而其对結構截面尺寸的要求則較小；(2) 由于两个“规范”所规定的水平土压力大小不同，对桥台的計算发生影响；(3) 由于在极限状态法中各系数所起的作用与容許应力法所用的安全系数不同。

表 8

## 桥墩試探性設計結果統計表

检 算 内 容	检 算 截 面	墩 身 式 样	按极限状态法比之容許应力法要求增(+)或减(-)		附 注
			圆 端 形	-10~25%	
对强度上的要求	墩 身 截 面	圆 端 形	-10~25%	随 $h$ 的增大而增大	
		圆 形	-10~25%	— “ — 减小	
	岩石地基时	圆端形及圆形	-50~65%	以 50% 为最多, 随 $h$ 的增大而增大	
	非岩石地基时	圆端形及圆形	+10% 以内 (在 0.5kg/cm <sup>2</sup> 以内)	随 $h$ 的增大而增大	
对倾倒稳定上的要求	岩石地基时	圆端形及圆形	+5~20%	— “ —	
	非岩石地基时	圆端形及圆形	+5~15%	— “ —	
对滑走稳定上的要求	岩石地基时	圆端形及圆形	+20~40%	— “ —	
	非岩石地基时	圆端形及圆形	+5~15%	— “ —	

表 9

## 桥台的試探性設計結果統計表

鋼 筋 混 凝 土 梁		預應力鋼筋混凝土梁		鋼 桥 梁			
重型桥台 T形桥台		十 字 形 桥 台		十 字 形 桥 台			
$l_n=3.4m$ $l_p=8m, 16m$		$l_g=23.8m, 31.7m$		$l_p=48m, 64m$			
$H=2\sim 4m$ $H=4\sim 12m$		$H=12\sim 24m$		$H=12m, 24m$			
基本組合	附加組合	基本組合	附加組合	基本組合	附加組合	基本組合	附加組合
活載 A 或 (B)	活載 B 或 (B)	活載 A 或 (B)	活載 B 或 (B)	活載 A 或 (B)	活載 B 或 (B)	活載 A 或 (B)	活載 B 或 (B)
偏 心 截 面	极限状态法要求比之容許应力法增(+)或减(-)						
	心	-10% 以内	+10% 以内	-10% 以内	+30% 以内		
強 度	-20% 以内	-20% 以内	±20% 以内	-30% 以内	-15% 以内	-20% 以内	-10% 以内
基 底 及 地 基 等	偏 心	-10% 以内	+10% 以内	-10% 以内	+30% 以内		+1~43%
	強 度	-5% 以内	+5% 以内	+15% 以内	+15% 以内	+15% 以内	+25% 以内
傾 倒		+15% 以内		+10% 以内			-37~+5%
		-10% 以内		-10% 以内			+5~14%

## 五、几个計算系数的探討

### 1. 列車荷載增长系数

“苏联规范”所用的列車荷載增长系数是通过假定的列車荷載增长速度、假定的投资利率和现行的容許应力及检定应力的数值等的关系求得的<sup>[3]</sup>。由于假定的列車荷載增长速度是非常不可靠的，投资利率的估定是不准确的，容許和检定应力数值是随时間及所用材料而变动的。因此，根据这些因素来确定的荷載增长系数，很难希望它能够反映实际情况。

列車标准荷載及其增长系数可由对近期的和远期的机車和車辆发展情况的估計来加以确定。根据鐵道科学研究院的資料，估計我国铁路近期的蒸汽机車軸重为 20~21 吨、电力及內燃机車的軸重为 21~23 吨，車辆重量則为 6~8 吨/米。将来铁路动力逐步向电力和內燃牵引过渡，远期的机車軸重可达 25~27 吨，而車辆重量則将为 8~10 吨/米。这种估計是否正确，当然需要更加深入研究。

如果把 2 辆 27 吨軸重的电力机車連挂，加上 10 吨/米的車辆重量作为远期列車荷載，并画出在各种跨度上的荷載等級曲綫如图 1\*，則可求出按中—22 級荷載設計的各种桥跨和墩台的荷載增长系数\*\*，如表 10。

表 10  
荷 載 增 長 系 數 表

結構種類	計算跨 度 (m)	荷載增長系數 $n_2$
鋼 梁	$l < 56$	$n_2 = 1$
	$56 < l < 96$	$n_2 = 0.00472l + 0.736$
	$96 < l < 160$	$n_2 = 0.00288l + 0.913$
	$160 < l < 200$	$n_2 = 0.000511l + 1.291$
鋼 筋 混 凝 土 梁	$l < 44$	$n_2 = 1$
	$44 < l < 56$	$n_2 = 0.00379l + 0.833$
橋 台 与 基 底	$l < 48$	$n_2 = 1$
	$48 < l < 112$	$n_2 = 0.00284l + 0.864$
	$112 < l < 200$	$n_2 = 0.00119l + 1.05$

### 2. 列車荷載超載系数

为对列車荷載的超載情况进行初步的探討，我們从丰台站 1959 下半年至 1960 年上半年的貨物列車編組登記表中任意抽取出 931 列貨物列車的重量資料，按正态曲綫对各列車的每延米平均重量进行了超載系数的計算。結果如下：

列車荷載的平均值为 4.58t/m。当取保証率  $\omega = 99.865\%$  时，列車荷載的最大值为 5.58t/m，超載系数  $n_0 = 1.22$ 。

經驗曲綫与理論曲綫的适綫程度用  $x^2$  鑒定\*\*\*，其参数

\* 取自鐵道科学研究院資料。

\*\* 按中—24、26 級設計时，可分別乘以  $\frac{22}{24}$  和  $\frac{22}{26}$ ， $n_2 \leq 1$ 。

\*\*\* 参见 Стрелецкий Н. С.: «Основы статистического учета коэффициента запаса прочности сооружений». стройиздат 1947, 第 29~30 頁。

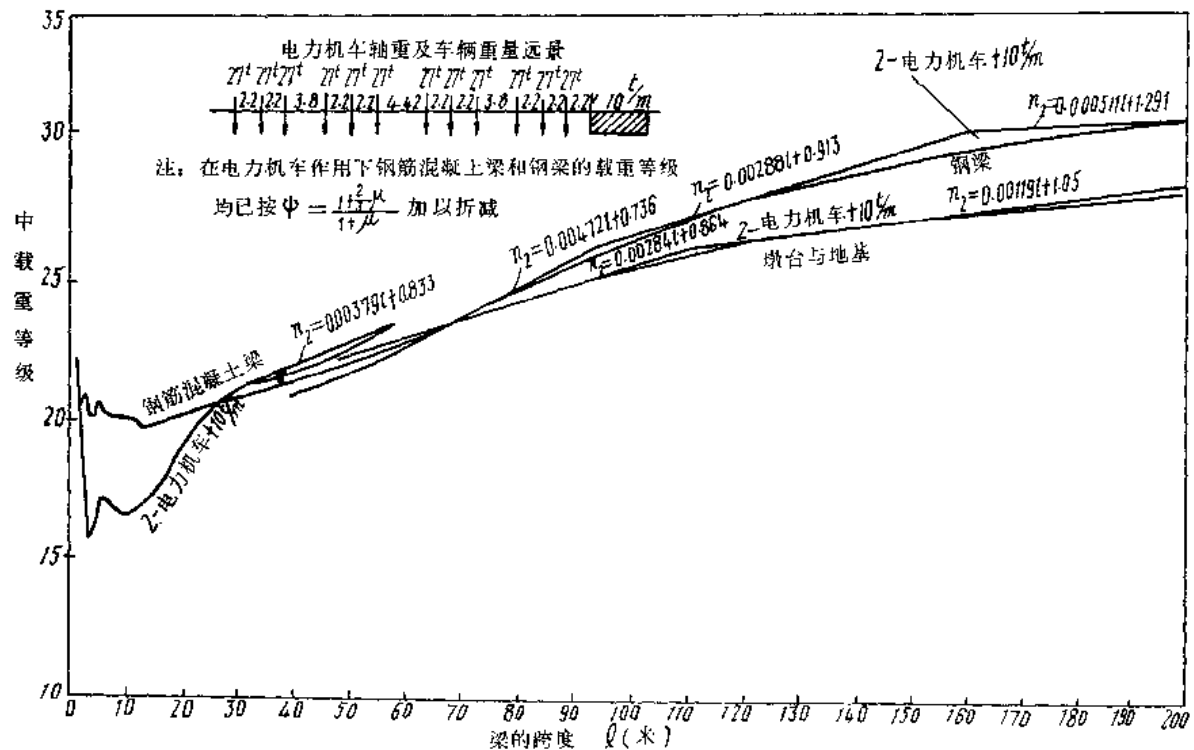


图 1 各种跨度梁部结构及墩台与地基在电力机车作用下的载重等级及对中—22级的荷载增长系数

$$H = \frac{1}{S-1} \sum \frac{(y_i^T - y_i)^2}{y_i^T} = 0.399 < 1. \text{ (合格)}$$

由于統計計算仅按照每列車荷載的每延米平均重量，而沒有考慮不同的加載長度，所以列車荷載的平均值與最大值較小。上面的計算結果只能概略地反映局部地區部分貨物列車重量的超載情況。還應組織力量對列車荷載的超載系數繼續進行全面的分析研究。

### 3. 鋼的匀質系數

我國冶金和建築部門的所屬單位，對鋼的匀質系數進行過頗多的分析工作。唐山鐵道學院應用數學教研組參加了本專題協作，也進行過一些資料分析，按照通用的計算方法\*，求得如下結果：

厂 别	钢 种	试 件 数	匀 质 系 数
唐 鋼	G3 (圓)	6941	1.08
鞍 鋼	G5 (圓)	3279	0.906
"	G5 (螺紋)	3401	0.897
津 鋼	G3 (圓)	4928	0.868
"	G5 (圓)	5438	0.932

\* 計算公式為  $k = \frac{\bar{R}}{R_n} \left[ 1 - \sqrt{\left( \frac{3\sigma}{\bar{R}} \right)^2 + \left( \frac{\Delta F}{F} \right)^2} \right]$ ，式中  $k$ —匀質系數，  $\bar{R}$ —屈服強度經驗分布的均值，  $R_n$ —合格品的屈服強度下界，  $\sigma$ —屈服強度經驗分布的標準差，  $F$ —截面積，  $\Delta F$ —面積的最大負公差。

(关于鋼板和型鋼，也曾收集到一些資料，但沒有得出結果)。

参照其他单位的資料，国产鋼材的匀质系数似可用如下数值：

炭素鋼 0.85

25 鑄鐵 0.85

高强度冷拔鋼絲 0.8

但为慎重起见，联合各有关部门，组织人力，订定严密的工作方法，进行詳細的分析研究，提出可靠結果，还是必要的。对鍛鋼、鑄鋼、各种型鋼和鋼板应搜集大量資料。

#### 4. 混凝土的匀质系数

关于混凝土的匀质系数，經有关协作单位收集資料，提出如下数字\*：

##### (1) 中国科学院土木建筑研究所提出的数字

混 凝 土 类 型	标 号	
	110~250	300 以 上
A	$K=0.53$	0.67
B	0.39	0.39

##### (2) 公路科学研究院提出的数字

混 凝 土 类 型	标 号		
	140	250	400
A	—	$K=0.797$	—
B	0.549	—	0.556

##### (3) 唐山鐵道学院建筑材料教研組和鐵道科学研究院桥梁研究室提出的数字

混 凝 土 类 型	标 号		
	400	450	500
A	$K=0.89$	0.87	0.67

综合上述三个单位提出的混凝土匀质系数数值来看，偏差幅度是很大的，如下：

混 凝 土 类 型	标 号			
	110~250	400	450	500
A	$K=0.53\sim 0.797$	$0.67\sim 0.89$	$0.67\sim 0.87$	0.67
B	$K=0.39\sim 0.549$	$0.39\sim 0.556$	—	—

国内其他单位对混凝土匀质系数进行过分析研究的不在少数。然而，所搜集到的資料在施工条件、取样方法、配合比、养护方式等方面也大都是不够清楚的，因而整理分析工作，十分困难，难望結果精确。因此，还應該联合有关部门，严密规定工作方法，进行詳尽分析，以求获得可靠的結果。

\* 根据苏联 V-131-54 指示进行計算。